

پیش‌نگری دمای ایران در آینده نزدیک (۲۰۲۱-۲۰۴۰) بر اساس رویکرد همادی چندمدلی CMIP6

آذر زرین* - استادیار آب و هواشناسی، گروه جغرافیا، دانشگاه فردوسی مشهد، مشهد
عباسعلی داداشی رودباری - پژوهشگر پسادکتری آب و هواشناسی، گروه جغرافیا، دانشگاه فردوسی مشهد، مشهد

تاریخ پذیرش: ۱۳۹۹/۰۴/۲۰ تاریخ دریافت: ۱۳۹۹/۰۴/۲۷

چکیده

هدف از این پژوهش پیش‌نگری دمای ایران بر اساس رویکرد همادی چندمدلی (MME) با کاربست مدل‌های CMIP6 است. برون داد پنج مدل برای دوره تاریخی (۲۰۱۴-۱۹۹۵) و آینده نزدیک (۲۰۲۱-۲۰۴۰) تحت دو سناریوی بدبینانه (SSP3-7.0) و خیلی بدبینانه (SSP5-8.5) به کار گرفته شد. برای درستی سنجی مدل‌ها از سنجه‌های آماری NRMSE و MBE و داده‌های روزانه ۱۲۰ ایستگاه همدید استفاده شد. از روش‌های تغییر عامل دلتا (DCF) و میانگین وزنی مستقل (IWM) به ترتیب برای تصحیح اریبی و ایجاد یک مدل همادی استفاده شد. برای آشکارسازی تنش‌های گرمایی از شاخص طول مدت گرما (WSDI) استفاده شد. نتایج نشان داد که تصحیح اریبی و همادی کردن مدل‌ها با روش IWM پیش‌نگری دمای سالانه را به ویژه در مناطق خشک و نیمه‌خشک نسبت به مناطق مرتبط شمالی بهبود می‌بخشد. نتایج کلی نشان داد که بر اساس سناریوهای-SSP3-7.0 و SSP5-8.5 میانگین دمای سالانه کشور به ترتیب ۱۱۳ و ۱۲۶ درجه سلسیوس افزایش خواهد یافت. کمینه بی‌هنگاری در جنوب شرق و بیشینه آن در مناطق شمال غربی و مرکزی ایران اتفاق می‌افتد. شاخص طول مدت گرما نیز بی‌هنگاری مثبت را برای آینده نشان می‌دهد. بر اساس سناریوی ۵.5-SSP5-8.5، بیشینه این شاخص در سواحل جنوبی ایران بی‌هنگاری مثبت ۷۴/۵ روز را نشان می‌دهد.

واژگان کلیدی: ایران، پیش‌نگری دما، شاخص WSDI، مدل‌های CMIP6، مدل همادی.

مقدمه

تغییر اقلیم یکی از تهدیدات مهم قرن بیست و یکم است. نگرانی اصلی در خصوص اثرهای تغییر اقلیم معطوف به وردش‌های احتمالی مرتبط با وردایی اقلیم و به تبع آن افزایش رخدادهای فرین است (گراس و همکاران، ۲۰۲۰: ۱۴). تغییرات فراسنج دما تأثیرات گوناگونی در سامانه اقلیم دارد. تغییر طولانی مدت میانگین سالانه دما در سطح جهانی یکی از نشانگرهای گرمایش جهانی است که تأثیرات چشم‌گیری در اکوسیستم‌های زمینی دارد. این تأثیرات می‌تواند در برگیرنده چرخه‌های هیدرولوژیکی، کشاورزی، و خشکسالی باشد (دای و همکاران، ۲۰۱۱: ۴۷). بر این اساس، بررسی تغییرات سالانه و دهه‌ای میانگین دما در سطح منطقه‌ای بسیار مهم است. همچنین، درک چگونگی تغییر دما و شاخص‌های مرتبط با آن همانند تنش‌های گرمایی در مقیاس‌های زمانی مختلف مهم است تا بر اساس آن تصمیمات آگاهانه‌ای در رابطه با توسعه اقتصادی و برنامه‌های اقدام اقلیم (CAP)^۱ اتخاذ کرد.

یکی از منابع عمده داده برای مطالعه تغییر اقلیم مدل‌های گردش کلی جو (GCM) هستند که به‌طور گسترده‌ای

برای پایش و پیش‌نگری تغییر اقلیم گذشته و آینده (هی و همکاران، ۲۰۱۹) و برآورد مخاطرات ریسک منطقه‌ای از آن استفاده می‌شود (خان و دیگران، ۲۰۲۰). GCMها توانایی قابل توجهی را برای شبیه‌سازی دما و بارش دارند. با این حال، آن‌ها محدودیت‌هایی نیز دارند. از جمله این محدودیت‌ها خطاهاي سیستماتیك (IPCC, 2013) در بازتولید میانگین دما و بارش بهویژه در مناطقی با توبوگرافی پیچیده، همانند ایران، است. پروژه مقایسه مدل‌های جفت‌شده مرحله ششم (CMIP6) مرحله جدیدی از مدل‌های اقلیمی و به عبارتی GCMهایی هستند که از سال ۲۰۱۵ با به‌خدمت‌گرفتن سناریوهای جدید (SSPs) و همچنین مجموعه‌ای جدید از مشخصات غلظت، انتشار، و سناریوهای پوشش سطح زمین (گیدن و همکاران، ۲۰۱۹) به شبیه‌سازی اقلیم آینده زمین پرداخته‌اند. هنوز مشخص نیست مدل‌های جدید CMIP6 تا چه میزان قادر به بازتولید متغیرهای اقلیمی برای ایران باشند و عملکرد این مدل‌ها در شرایط کاربست مستقیم، تصحیح ارجی، و ایجاد یک مدل همادی به چه شکل خواهد بود. بنابراین، این پژوهش به بررسی برونداد خام، تصحیح شده ارجی، و در نهایت کاربست یک رویکرد چندمدلی (MME) برای دمای ایران با استفاده از مدل‌های CMIP6 می‌پردازد.

ارائه پیش‌نگری‌های اقلیمی در هر سه رویکرد گفته شده (برون‌داد مستقیم، تصحیح شده ارجی، و ایجاد مدل همادی) با کمترین عدم قطعیت برای برنامه‌های راهبردی و مدیریتی از اهمیت ویژه‌ای برخوردار است. یک روش معمول برای کاستن از عدم قطعیت مدل‌ها گزینش مدلی با کمترین مقدار ارجی است. در این رویکرد عملکرد مدل برای دوره تاریخی با توجه به مشاهدات ایستگاهی و داده‌های بازتحلیل شده آزمون می‌شود (لی و وانگ، ۲۰۱۴: ۱۰۱). با این حال، کاربست این رویکرد با مشکلاتی همراه است که می‌توان به وردایی زیاد مدل در دوره تاریخی اشاره کرد (یان و همکاران، ۲۰۱۹: ۱۳۳۳).

به‌طور کلی، عدم قطعیت پیش‌نگری‌های اقلیمی را می‌توان در سه بخش تفکیک کرد: ۱. عدم قطعیت ناشی از سناریو: این نوع از عدم قطعیت در سناریوهای مختلف انتشار می‌تواند به عنوان واداشت خارجی برای مدل‌های اقلیمی مورد استفاده قرار گیرد؛ ۲. عدم قطعیت پاسخ مدل: این حالت مربوط به پاسخ مدل‌های مختلف نسبت به شرایط محیطی است؛ ۳. وردایی: طبیعی: وردایی رفتار ذاتی سامانه اقلیم است و عدم قطعیت ناشی از آن در همه مدل‌ها دیده می‌شود (هاوکینز و ساتون، ۲۰۰۹: ۱۰۹۶). کاهش عدم قطعیت مدل‌های اقلیمی دشوار است؛ زیرا این امر مستلزم دانش آینده در خصوص انتشار گازهای گلخانه‌ای و انتشار ذرات معلق در هوا و همچنین پیشرفت در فناوری‌های مربوط به مدل‌سازی است که به‌طور بالقوه ممکن است در آینده با توسعه بیشتر مدل‌های اقلیمی مقدار آن نیز کمتر شود (ماس و همکاران، ۲۰۱۰: ۷۴۹). عدم قطعیت مدل ممکن است با پیشرفت دانش فرایندهای طبیعی و تفکیک افقی آن‌ها کاهش یابد. به عنوان مثال، افزایش تفکیک افقی مدل‌های اقلیم منطقه‌ای (RCM)^۱ از ۰/۱۱ تا ۰/۰۴ درجه قوسی تأثیر معنی‌داری در عملکرد مدل دارد که اغلب به عنوان «ازش‌افروده» مدل‌ها نامیده می‌شود. از سوی دیگر، افزایش قابلیت‌های محاسباتی در دسترس برای گروههای مدل‌سازی و پیشرفت‌های بیشتر در توصیف دقیق‌تر فرایندهای موجود در مدل‌ها این توانایی را برای کاهش عدم قطعیت دارد. اما افزودن پیچیدگی بیشتر به مدل‌ها ممکن است به عدم قطعیت‌های بالاتر در پیش‌نگری‌ها منجر شود (لورنزو و همکاران، ۲۰۱۸: ۴۵۰۷). همان‌طور که گفته شد، بخش سوم عدم قطعیت در پیش‌نگری‌های اقلیمی وردایی طبیعی است. وردایی طبیعی می‌تواند با اندرکنش بین اجزای داخلی سامانه اقلیم همراه باشد که نتیجه آن به وردش‌های سالانه، دهه‌ای، یا حتی چنددهه‌ای مانند ENSO^۲ و NAO^۳ منجر شود (زانگ و همکاران، ۲۰۱۸: ۴۰۱۹).

1. Regional Climate Models (RCM)
2. El Niño–Southern Oscillation (ENSO)
3. North Atlantic Oscillation (NAO)

در مدل‌های CMIP6 از سناریوهای جدید (SSP) استفاده شدند. سناریوهای جدید به خدمت گرفته شده در مرحله ششم (CMIP6)، علاوه بر درنظر گرفتن انتشار گازهای گلخانه‌ای، از تلفیق خط سیرهای اجتماعی- اقتصادی مشترک در کنار خط سیرهای نماینده غلظت گازهای گلخانه‌ای برای تحلیل پسخورهای بین تغییر اقلیم و فاکتورهای اجتماعی- اقتصادی نظیر رشد جهانی جمعیت، توسعه اقتصادی، و پیشرفت‌های فناوری استفاده شده است.

در پژوهش‌های بسیاری به بررسی مدل‌های اقلیمی برای پیش‌نگری دما در سطح جهانی پرداخته شده است. این پژوهش‌ها را می‌توان در دو دسته کلی قرار داد: در دسته نخست، که طیف بیشتری از مطالعات را دربر می‌گیرد، به تحلیل نتایج منتج از بهترین مدل (کمترین عدم قطعیت)، از بین مجموعه مدل‌های مورد بررسی پرداخته شده است و در دسته دوم از رویکرد همادی برای بررسی وردابی و پیش‌نگری تغییر اقلیم مربوط به دما و بارش استفاده شده است.

برای نمونه، کیم و همکاران (۲۰۲۰) با همادی کردن چند مدل CMIP6 و CMIP5 مشابه و بررسی فرین‌های اقلیمی در سطح جهانی به این نتیجه رسیدند که CMIP6 عدم قطعیت کمتری نسبت به CMIP5 دارد. نتایج این تحقیق نشان داد که روزهای گرم روند افزایشی و شب‌های سرد روند کاهشی خواهند داشت. ارزیابی مدل‌های همادی امریکای شمالی پژوهشی است که بکر و همکاران (۲۰۲۰) به مطالعه آن پرداختند. بررسی آن‌ها از توانمندی مدل‌های همادی نشان‌دهنده بهبود قابل توجه فراستن دامت. باکیم و همکاران (۲۰۲۰) از مدل‌های همادی CMIP6 برای بررسی تغییر اقلیمی آینده و اثر آن در عملکرد محصول گندم دشت‌های شمالی چین استفاده کردند. آن‌ها نشان دادند که دما تحت سناریوی SSP3-7.0 تا پایان قرن حاضر ۱ درجه سلسیوس و بر اساس سناریوی ۸.۵-SSP5 از ۱۶ درجه سلسیوس افزایش خواهد داشت و این تغییرات دما در تولید گندم نقش چشم‌گیری دارد. یو و همکاران (۲۰۲۰) به ارزیابی ۱۸ مدل اقلیمی از مجموعه مدل‌های CMIP5 برای بررسی تغییرات دمای جهانی در مقیاس‌های زمانی مختلف پرداختند. نتایج پژوهش آن‌ها نشان داد که مدل‌ها در سطح اقیانوس‌ها بهتر از سطح زمین دما را برآورد می‌کنند. پیش‌نگری تغییرات فرین‌های گرم، خشک، و مرتبط با کاربست مدل‌های همادی CMIP6 پژوهشی است که وگل و همکاران (۲۰۲۰) انجام دادند. نتایج این پژوهش نشان داد تحت پدیده گرمایش جهانی فرین‌های دمایی به شکل قابل توجهی افزایش خواهند یافت.

در پژوهش‌های بسیاری بررسی دمای ایران مورد توجه قرار گرفته است؛ از جمله این مطالعات می‌توان به پژوهش مسعودیان (۱۳۹۰) اشاره کرد که نواحی دمایی و تغییرات آن را در نیم قرن گذشته با استفاده از داده‌های ایستگاهی بررسی کرده است. همچنین، مطالعاتی همچون علیزاده چوبri و نجفی (۱۳۹۶) با بررسی روند تغییرات دمای هوا و بارش در مناطق مختلف ایران روندهای افزایشی دمایی کمینه، بیشینه، و میانگین روزانه را در بیشتر مناطق ایران گزارش کردند. احمدی و همکاران (۱۳۹۸)، ضمن بررسی عملکرد مدل HadGEM2-ES از پروژه CORDEX، بی‌هنجری فصلی دمای ایران را مطالعه کردند؛ نتایج آن‌ها نشان داد بی‌هنجری دما در همه فصول، سناریوها، و دوره‌های زمانی تا پایان قرن ۲۱ مثبت است و فصل زمستان بیشینه بی‌هنجری دما را در بین فصول داراست. در همین راستا، فلاح قالهری و همکاران (۲۰۱۹) نیز بی‌هنجری مثبت دما را در ارتفاعات شمال غرب و غرب ایران بر اساس مدل‌های CMIP5 نشان دادند.

اغلب مطالعاتی که ذکر شد بر پیش‌نگری دمای کشور با استفاده از برونداد پروژه مرحله سوم (CMIP3) و پنجم (CMIP5) مدل‌های جفت‌شده اقلیمی با استفاده از مدل‌های منفرد متمرکز شده‌اند. هرچند که کاربست مدل‌های همادی نیز برای دیگر متغیرهای اقلیمی همچون بارش (آزادی و همکاران، ۱۳۹۱؛ نجفی و همکاران، ۱۳۹۶) انجام شده است،

این امر برای دما تاکنون بررسی نشده است. برونداد مرحله ششم (CMIP6) پروژه مقایسه مدل‌های جفت‌شده اقلیمی مدتی است که در دسترس قرار گرفته است و محدود مطالعاتی همچون زرین و همکاران (۱۴۰۰) و زرین و داداشی رودباری (۱۳۹۹) به بررسی بی‌هنگاری و روند دمای ایران با استفاده از مدل‌های ۱۰۰ کیلومتری CMIP6 پرداخته‌اند. کاربست مدل‌های منفرد عدم قطعیت بالایی دارد؛ به همین منظور، در این پژوهش ایجاد یک مدل همادی برای دمای ایران مورد توجه قرار گرفته است. هدف از این پژوهش ایجاد یک مدل همادی (MME) با استفاده از برونداد مدل‌های تصحیح‌شده اریبی CMIP6 برای پیش‌نگری دمای ایران و طول مدت دوره گرما در آینده نزدیک (۲۰۲۱-۲۰۴۰) است.

مواد و روش‌ها

داده‌های مورد استفاده

ایستگاه‌های همدید

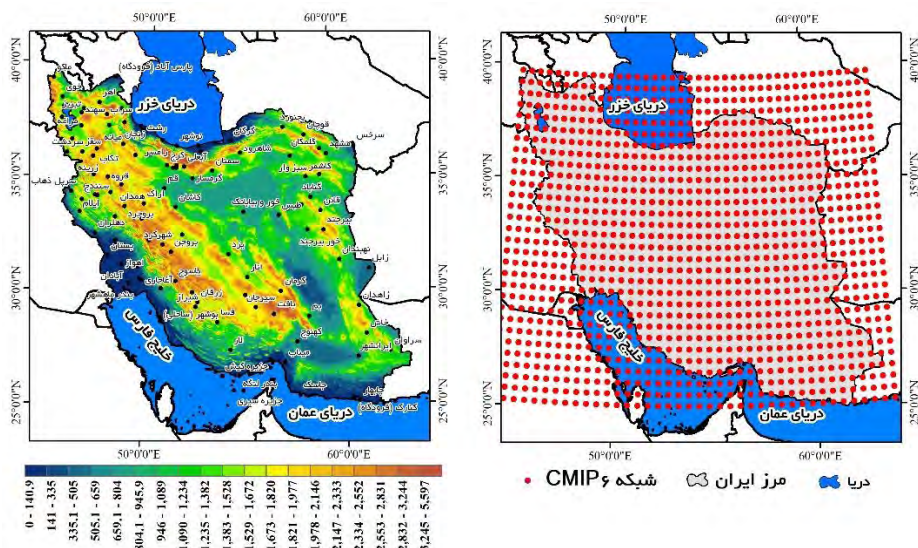
برای درستی‌سنجی متغیر دمای مدل‌های CMIP6 در دوره تاریخی ۱۹۹۵ تا ۲۰۱۴ (این دوره بیست‌ساله به عنوان مبنای مطالعه حاضر در نظر گرفته شد) از مجموعه داده‌های ایستگاه‌های همدید ایران (۱۲۰ ایستگاه در شکل ۱) استفاده شد. به منظور گزینش این ایستگاه‌ها، علاوه بر مشارکت حداکثری در مناطق مختلف اقلیمی ایران، تلاش شد تا ایستگاه‌هایی مطالعه شوند که کمترین داده مفقود را در کل سری زمانی داشته باشند.

پروژه مقایسه مدل‌های جفت‌شده مرحله ششم (CMIP6)

کارگروه مدل‌های جفت‌شده (WGCM) از برنامه تحقیقات جهانی آب‌وهوای (WCRP) بر پروژه مقایسه مدل‌های جفت‌شده نظارت می‌کند؛ پروژه‌ای که اکنون در مرحله ششم است. مدل‌های CMIP6 نسبت به نسخه پیشین (CMIP5)، ضمن بهبود سازوکار فرایندهای فیزیکی و همرفت، مازول‌های جدیدی را نیز در بخش‌های اقیانوس، بیوژئوژیمی اقیانوس، و بخش دریا اضافه کرده‌اند (سوارت و همکاران، ۲۰۱۹؛ تابه و همکاران، ۲۰۱۹؛ ژو و یانگ، ۲۰۲۰). در این پژوهش پنج مدل از سری مدل‌های CMIP6 با تفکیک افقی ۰/۵ درجه قوسی (اطلاعات مدل‌های مورد استفاده در جدول ۱ آمده است) تحت سناریوهای خط سیر مشترک اجتماعی- اقتصادی (SSPs) (ریاحی و همکاران، ۲۰۱۷) استفاده شد. سناریوهای SSP در پنج گروه با عنوان SSP1 تا SSP5 نام‌گذاری شده‌اند. در این پژوهش از سناریوهای بدینانه (SSP3-7.0) و خیلی بدینانه (SSP5-8.5) (High challenges to mitigation and adaptation) برای پیش‌نگری دمای سالانه و تنفس گرمایی تحت شرایط تغییر اقلیم برای دوره آینده نزدیک (۲۰۲۱-۲۰۴۰) استفاده شده است.

جدول ۱. مدل‌های CMIP6 مورد بررسی در این پژوهش

نمکیک افقی (درجه قوسی)	مؤسسه سازنده	مدل
۰/۵	آزمایشگاه دینامیک شاره‌های ژئوفیزیکی امریکا	GFDL-ESM4
۰/۵	مؤسسه پیر سیمون لاپلاس فرانسه	IPSL-CM6A-LR
۰/۵	مدل سامانه زمین مؤسسه ماکس پلانک آلمان	MPI-ESM1-2-HR
۰/۵	مؤسسه تحقیقات هوافضایی ژاپن	MRI-ESM2-0
۰/۵	مرکز هدلي، اداره هوافضائي انگلستان	UKESM1-0-LL



شکل ۱. ایستگاه‌های همدید منتخب (چپ) به همراه شبکه ۵۰ کیلومتری برونداد مدل‌های CMIP6 (راست)

روش‌های آماری درستی‌سنجدی مدل‌های منتخب

از سنجه‌های آماری برای درستی‌سنجدی عملکرد مدل‌ها استفاده می‌شود تا شباهت بین داده‌های مشاهداتی و مدل‌سازی شده در قالب مقادیر آماری نشان داده شود (گوپتا و همکاران، ۲۰۰۹: ۸۴). در این مطالعه برای درستی‌سنجدی عملکرد و همچنین محاسبه مقدار اریبی مدل‌های مورد بررسی از سنجه‌های مجذور میانگین مربعات خطای بهنجار (NRMSE)^۱ و میانگین خطای اریبی (MBE)^۲ استفاده شد. علت استفاده از این دو روش از بین روش‌های موجود به دلیل سنجش بهتر خطای اریبی مدل‌ها از یکسو و همچنین متداول‌بودن این روش‌ها از سوی دیگر است؛ زیرا متداول‌بودن سنجه‌های نامبرده قابلیت مقایسه را با سایر پژوهش‌ها و نتایج به دست آمده ایجاد می‌کند.

$$NRMSE = \sqrt{\frac{(P_i - O_i)^2}{\bar{O}}} \quad (1)$$

$$MBE = \frac{\frac{1}{n} \sum_{i=1}^n (z^*(X_i) - Z(X_i))}{n} \quad (2)$$

در رابطه ۱ n تعداد کل گام‌های زمانی است؛ P_i مقدار شبیه‌سازی شده (دمای سالانه مدل همادی ایجادشده با CMIP6) و O_i مقدار مشاهداتی (ایستگاه‌های همدید منتخب) است. در رابطه ۲، $Z^*(X_i)$ مقدار دما در برونداد همادی CMIP6 در X_i و $Z(X_i)$ مقدار مشاهده‌ای متغیر در i تعداد نقاط متغیر مشاهده‌ای است (نوین و همکاران، ۲۰۱۹: ۴۳۲۷).

مقیاس‌کاهی مدل‌های CMIP6 به منظور تصحیح اریبی با روش تغییر عامل دلتا (DCF)^۳
مدل‌های گردش کلی جو (GCMs) معمولاً دارای دو مشخصه اصلی بزرگ مقیاس‌بودن و داشتن اریبی نسبت به داده‌های

1. Normalized Root Mean Square Error (NRMSE)
2. Mean Bias Error (MBE)
3. Delta change Factor (DCF)

مشاهداتی هستند. بر این اساس، ضرورت دارد به جای استفاده مستقیم از داده‌های مدل در مطالعات مرتبط با تغییر اقلیم از میانگین دوره‌ای درازمدت این داده‌ها استفاده شود (علیزاده و همکاران، ۱۳۹۹). برای تصحیح اربی مدل‌های CMIP6 از داده‌های ۱۲۰ ایستگاه همید استفاده شد. شرح محاسباتی کامل این روش را زرین و داداشی رودباری (۱۳۹۹) و علیزاده و همکاران (۱۳۹۹) ارائه کردند.

همادی چندمدلی پروژه مقایسه مدل‌های جفت‌شده مرحله ششم (MME-CMIP6) با استفاده از روش میانگین وزنی مستقل (IWM)^۱

با توجه به پیچیدگی سامانه اقلیم، توصیف کافی از تغییر اقلیم با یک مدل غیرممکن است. برای کاهش عدم قطعیت، میانگین، یا ترکیب از نتایج حاصل از چندین مدل در پیش‌نگری‌های اقلیمی استفاده می‌شود. از رویکرد همادی می‌توان برای درک بهتر و کاهش عدم قطعیت در مطالعات تغییر اقلیم استفاده کرد. بیشاب و آبراموویتز (۲۰۱۳) یک روش میانگین وزنی با رویکرد مستقل (IWM) ایجاد کردند که وابستگی بین مدل‌های تعریف شده را با استفاده از کوواریانس خطاهای مدل نشان می‌دهد. در این مطالعه از IWM برای همادی کردن مدل‌های منتخب (GFDL-ESM4, MPI-) خطاها را با استفاده از UKESM1-0-LL, ESM1-2-HR, IPSL-CM6A-LR, MRI-ESM2-0 ترکیب خطی یک مجموعه از شبیه‌سازی‌های مدل است که میانگین اختلاف مربع (MSD) را با توجه به مشاهدات به حداقل می‌رساند. این روش بر اساس رابطه^۲ محاسبه می‌شود (برای کاهش حجم مقاله سایر جزئیات ارائه نشد).

$$\sum_{j=1}^J (\mu_e^j - y^i)^2 \text{ where } \mu_e^j = w^T x^j = \sum_{k=1}^K w_k x_k^i \quad (3)$$

در رابطه^۳ (1, ..., j , ..., J) گام‌های زمانی مقادیر سالانه دما (در این پژوهش مقادیر همادی دمای سالانه) و GCM‌های منتخب CMIP6 هستند. μ مقدار دمای همادی شده چندمدلی و j_{th} گام زمانی است؛ y^i نشان‌دهنده j_{th} گام زمانی در دوره مشاهداتی است. w وزن هر مدل از مجموعه مدل‌های همادی است که جمع آن ۱ خواهد بود. درنهایت، x ضریب مدل در ترکیب خطی است (بای و همکاران، ۲۰۲۰: ۲۷).

شاخص طول مدت گرما (WSDI)

شاخص WSDI تعداد روزهایی در هر سال با حداقل شش روز متوالی که TX^{90th} باشد تعریف می‌شود. این شاخص توسط کارگروه ETCCDI توسعه و ارائه شده است. در این شاخص TX دمای بیشینه روزانه و TX^{90th} صد که 90% دمای بیشینه روزانه است. برای محاسبه TX^{90th} برای هر روز، از میانگین متحرک پنج روزه در طول دوره تاریخی و پیش‌نگری شده استفاده شد. این شاخص نمایانگر تنفس گرمایی است.

یافته‌های تحقیق

درستی‌سنجی و وزن‌دهی مدل‌های منتخب CMIP6

برای تحلیل بهتر پاسخ هر مدل و کاهش حجم مقاله یک ایستگاه نماینده از پهنه‌های کلان مقیاس اقلیمی ایران (مسعودیان، ۱۳۹۰: ۱۷۹) بررسی شد. بر اساس برونداد مستقیم مدل‌ها (DMO)^۲ در اقلیم کرانه‌های دریایی عمان و

1. Independence Weighted Mean (IWM)

2. Direct Model Output (DMO)

خره هر پنج مدل CMIP6 میانگین دمای سالانه را کمتر برآورد کردند (جدول ۲ ایستگاه‌های چابهار و رشت). با این حال، مدل‌های CMIP6 در سایر اقلیم‌های ایران، میانگین دمای سالانه را بیشتر برآورد کردند. از طرف دیگر، مقدار اریبی میانگین سالانه دما، تغییرات زیادی را در پهنه کشور نشان می‌دهد. از نظر گستره مکانی، مقادیر اریبی دمای میانگین سالانه در مناطق شمالی ایران زیاد است (اریبی مدل MRI-ESM2-0 درجه ۴۱۰-۴۱۵ سلسیوس است). بالابودن اریبی دما در مناطق شمالی ایران و عرض‌های جغرافیایی بالاتر ممکن است با توپوگرافی پیچیده، تقابل دریا و خشکی، و همچنین تنوع زیاد پوشش سطح زمین در مقیاس مکانی کوچک در این مناطق در ارتباط باشد. مطالعات قبلی بر اساس مدل‌های CMIP5 نشان دادند که عملکرد GCMها بسیار متفاوت است و همچنین تغییرات متغیرهای اقلیمی همچون دما و بارش به پارامترهای متفاوتی همچون توپوگرافی، عرض جغرافیایی، نوع پوشش منطقه، و دوری/ نزدیکی به منابع رطوبتی بستگی دارد (پاتاک و همکاران، ۲۰۱۹: ۶). پس از تصحیح اریبی مدل‌های منتخب با استفاده از روش DCF و ایجاد مدل همادی چندگانه (MME) با روش IWM مقدار اریبی به شکل قابل توجهی کاهش یافته است (جدول ۲). در مطالعه حاضر بررسی دامنه اریبی مدل همادی در پهنه‌های مختلف اقلیمی نشان‌دهنده عملکرد رضایت‌بخش MME-CMIP6 در ایران است؛ اما در خصوص کاربست برونداد مدل‌های CMIP6 برای مناطق شمالی ایران حتی در صورت تصحیح اریبی و استفاده از رویکرد MME-CMIP6 نیز باید احتیاط بیشتری کرد. برای این مناطق استفاده از روش مقیاس کاهی دینامیکی که شرایط جغرافیایی منطقه به عنوان شرایط آغازین در مدل‌های منطقه محدود وارد می‌شود الزامی است.

بخش انتهایی جدول ۲ وزن هر یک از مدل‌ها را در دوره تاریخی (۱۹۹۵-۲۰۱۴) نشان داده است. در همه ایستگاه‌های نمونه وزن مدل UKESM1-0-LL بیشتر از چهار مدل دیگر است. سپس، مدل IPSL-CM6A-LR بیشترین وزن را در مدل همادی به خود اختصاص داده است. مدل GFDL-ESM4 در غالب مناطق ایران و در بیشتر ایستگاه‌های نمونه فقط یک‌پنجم کل وزن MME-CMIP6 را در روش IWM به خود اختصاص داده است. این مدل بیشترین مقدار اریبی را در بین مدل‌های منتخب داشته است.

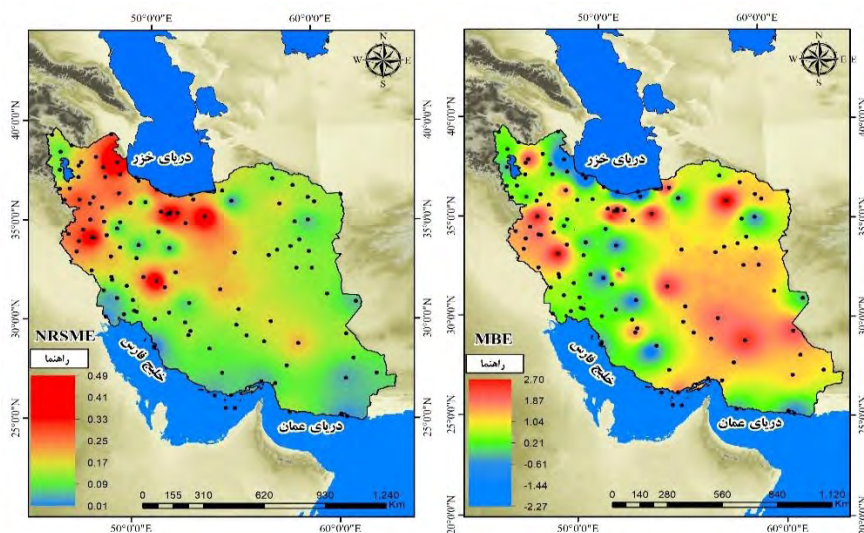
برای مقایسه بهتر عملکرد مدل‌های منتخب در شبیه‌سازی میانگین دمای سالانه کشور در دوره تاریخی (۱۹۹۵-۲۰۱۴)، از مجدد میانگین مربعات خطای بهنجار (NRMSE) و میانگین خطای اریبی (MBE) استفاده شده است (شکل ۲). باید توجه داشت که مقادیر NRMSE و MBE به طور مستقیم قابل مقایسه نیستند؛ زیرا رابطه آن‌ها غیروابسته است و تا حدودی به ضریب تغییرات (CV) سری زمانی مشاهداتی بستگی دارد. بنابراین، نتایج سنجه NRMSE نمی‌تواند راهنمایی برای درک MBE باشد.

مقادیر سنجه NRMSE خطای بهنجارشده مدل همادی ایجادشده تلقی می‌شود و هر چه مقدار آن کمتر باشد، نشان‌دهنده عملکرد مناسب مدل است. همان‌طور که در شکل ۲ نیز دیده می‌شود، مقدار NRMSE در بیشتر ایستگاه‌های مورد بررسی برای مدل همادی ایجادشده کمتر از ۰/۰۵ است که بر این اساس می‌توان اذعان کرد رویکرد MME-CMIP6 عملکرد خوبی را در شبیه‌سازی دمای ایران دارد. برونداد MME-CMIP6 در مناطق خشک و نیمه‌خشک ایران از عملکرد بالاتری برخوردار است. بررسی سنجه اریبی (MBE) که میزان انحرافات و متعاقب آن بیش برآورده و کم برآورده را آزمون می‌کند، بیانگر این است که MME-CMIP6 دما را در کل بیشتر از واقعیت برآورد می‌کند؛ زیرا متوسط اریبی ایران مثبت است. متوسط اریبی برای مدل GFDL-ESM4، IPSL-CM6A-LR، MPI-ESM1-2-HR، MRI-ESM2-0، UKESM1-0-LL، و ESM1-2-HR درجه سلسیوس به دست آمده است.

بنابراین، مدل‌های UKESM1-0-LL و IPSL-CM6A-LR به ترتیب مدل‌های کارا برای برآورد دمای ایران در بین مدل‌های بررسی شده‌اند. مقدار اریبی دما در ایران ۲/۲۷-تا ۲/۷۰ درجه سلسیوس در نوسان است. جنوب شرق، ایران مرکزی، و سواحل مکران و خلیج فارس کمترین مقدار اریبی دما را نشان می‌دهند و در مقابل غرب، شمال شرق، و بخش‌هایی از ایران مرکزی بیشینه مقدار اریبی را نشان می‌دهند. سواحل خزری نیز بیشترین مقدار اریبی منفی (کم برآورده) را برای دما تحت مدل MME-CMIP6 نشان می‌دهد. بهطور کلی، می‌توان اذعان کرد که برون‌داد مدل MME-CMIP6 در مناطق مرکزی، فلات شرقی، و سواحل جنوبی ایران نتایج مناسب‌تری ارائه می‌دهد.

جدول ۲. میانگین خطای اریبی و وزن مدل‌های منتخب CMIP6 در ایستگاه‌های نمونه مناطق مختلف اقلیمی ایران با روش‌های IWM، DCF و DMO (دوره آماری بیست‌ساله ۱۹۹۵-۲۰۱۴)

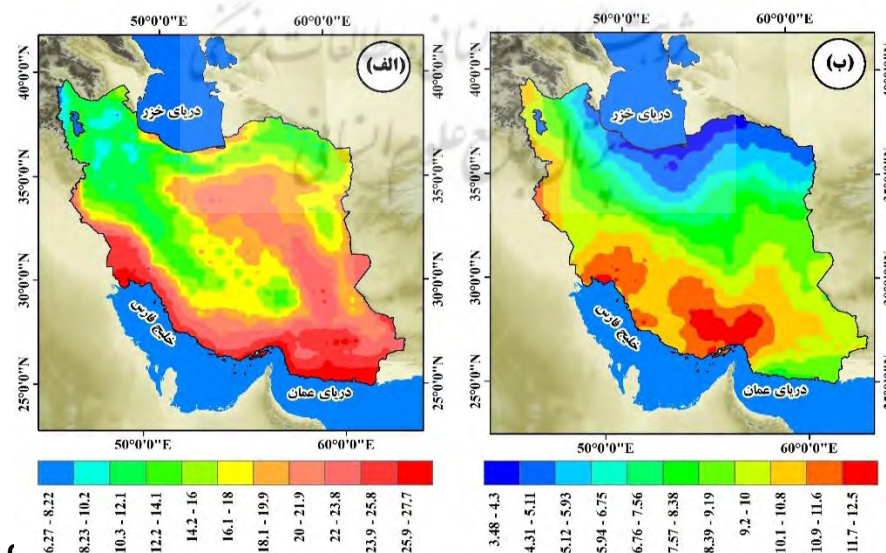
پهنه اقلیمی	ایستگاه	مدل	میانگین خطای اریبی (MBE)				
			IWM	DCF	DMO	وزن هر مدل در IWM	روش
اقلیم بلندی‌ها	کرمانشاه	GFDL-ESM4	۲/۲۲	۳/۸۸		-۰/۱۲۵	
		IPSL-CM6A-LR	۲/۰۲	۳/۹۹		-۰/۲۷۶	
		MPI-ESM1-2-HR	۲/۳۹	۳/۶۱		-۰/۱۶۷	۱/۸۷
		MRI-ESM2-0	۱/۹۸	۳/۷۴		-۰/۱۵۴	
		UKESM1-0-LL	۱/۷۲	۳/۸۹		-۰/۲۷۸	
اقلیم کوهپایه غربی	شیراز	GFDL-ESM4	۱/۷۸	۳/۵۴		-۰/۱۲۴	
		IPSL-CM6A-LR	۱/۸۷	۲/۹۵		-۰/۲۶۱	
		MPI-ESM1-2-HR	۱/۸۹	۳/۴۸		-۰/۱۹۰	۱/۶۵
		MRI-ESM2-0	۱/۹۱	۴/۰۱		-۰/۱۳۹	
		UKESM1-0-LL	۱/۶۹	۳/۶۸		-۰/۲۸۶	
اقلیم کرانه‌های خلیج فارس	اهواز	GFDL-ESM4	۰/۶۱	۱/۶۵		-۰/۱۷۳	
		IPSL-CM6A-LR	۰/۵۸	۱/۴۷		-۰/۲۲۳	
		MPI-ESM1-2-HR	۰/۷۴	۱/۶۷		-۰/۱۵۱	۰/۵۷
		MRI-ESM2-0	۰/۷۸	۲/۰۳		-۰/۱۴۲	
		UKESM1-0-LL	۰/۵۳۳	۲/۰۰		-۰/۳۱۱	
اقلیم دامنه‌های شمالی البرز	گرگان	GFDL-ESM4	۲/۸۳	۳/۹۸		-۰/۱۳۳	
		IPSL-CM6A-LR	۲/۶۸	۳/۴۵		-۰/۲۳۹	
		MPI-ESM1-2-HR	۲/۴۷	۳/۶۹		-۰/۱۸۲	۲/۰۹
		MRI-ESM2-0	۲/۷۸	۳/۴۷		-۰/۱۵۴	
		UKESM1-0-LL	۲/۱۲	۳/۰۴		-۰/۲۹۲	
اقلیم کرانه‌های خزر	رشت	GFDL-ESM4	-۳/۱۰	-۳/۹۹		-۰/۱۱۱	
		IPSL-CM6A-LR	-۲/۶۷	-۳/۸۷		-۰/۲۷۹	
		MPI-ESM1-2-HR	-۳/۰۷	-۳/۵۴		-۰/۱۹۲	-۲/۰۸
		MRI-ESM2-0	-۳/۴۵	-۴/۱۰		-۰/۱۳۴	
		UKESM1-0-LL	-۲/۶۴	-۳/۳۰		-۰/۲۸۴	
اقلیم کوهپایه‌های شرقی	مشهد	GFDL-ESM4	۲/۶۴	۲/۹۸		-۰/۱۰۹	
		IPSL-CM6A-LR	۲/۰۱	۲/۸۴		-۰/۲۶۷	
		MPI-ESM1-2-HR	۲/۰۵	۲/۹۳		-۰/۱۹۱	۱/۴۰
		MRI-ESM2-0	۲/۵۴	۳/۰۱		-۰/۱۱۸	
		UKESM1-0-LL	۱/۸۷	۲/۹۱		-۰/۳۱۵	
اقلیم فلات شرقی	Zahedan	GFDL-ESM4	۲/۴۳	۳/۱۴		-۰/۱۰۸	
		IPSL-CM6A-LR	۲/۲۹	۲/۸۷		-۰/۲۷۰	
		MPI-ESM1-2-HR	۲/۲۷	۳/۰۹		-۰/۱۸۲	۲/۰۸
		MRI-ESM2-0	۲/۲۵	۲/۹۸		-۰/۱۴۹	
		UKESM1-0-LL	۲/۱۱	۲/۹۱		-۰/۲۸۹	
اقلیم کرانه‌های عمان	چابهار	GFDL-ESM4	-۰/۹۲	-۱/۸۷		-۰/۱۲۷	
		IPSL-CM6A-LR	-۰/۹۷	-۱/۵۴		-۰/۲۹۹	
		MPI-ESM1-2-HR	-۰/۰۲	-۱/۹۷		-۰/۱۴۴	-۰/۶۱
		MRI-ESM2-0	-۱/۳۳	-۲/۱۲		-۰/۱۱۰	
		UKESM1-0-LL	-۰/۷۴	-۱/۳۵		-۰/۳۲۰	



شکل ۲. عملکرد فراسنج دما مبتنی بر برونو داد مدل MME-CMIP6 در ایران مبتنی بر سنجه‌های مجدور میانگین مربعات خطای بهنجار (NRMSE) و میانگین خطای اربی (MBE) در دوره تاریخی (۲۰۱۴-۱۹۹۵)

تغییرات میانگین دمای سالانه و شاخص طول مدت گرما طی دوره تاریخی (۲۰۱۴-۱۹۹۵)

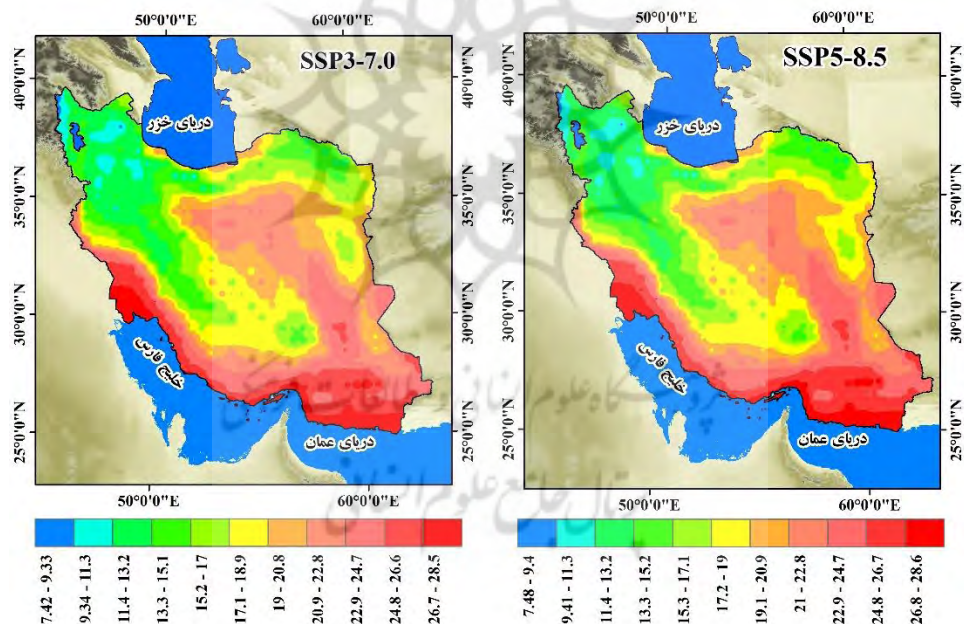
تغییرات بلندمدت دمای ایران و شاخص طول مدت گرما (WSDI) برای یک دوره بیست‌ساله با استفاده از مدل MME-CMIP6 بررسی شد (شکل ۳). دمای متوسط سالانه ایران بر اساس برونو داد MME-CMIP6 بین ۶/۲۷ و ۲۷/۷ درجه سلسیوس در نوسان است. سواحل خلیج فارس و دریای عمان بیشینه دما و مناطق شمال غربی ایران کمینه دما را نشان دادند. دامنه طول مدت گرما در ایران در طی دوره تاریخی بین ۳/۴۸ تا ۱۲/۵ روز در تغییر است. سواحل خلیج فارس بیشینه و مناطق شمالی و شمال غربی ایران بخصوص استان اردبیل به همراه مناطقی از شمال شرق ایران کمینه شاخص WSDI را نشان دادند.



شکل ۳. (الف) میانگین بلندمدت دمای سالانه مبتنی بر برونو داد MME-CMIP6؛ (ب) شاخص طول مدت گرما (WSDI) طی دوره تاریخی (۲۰۱۴-۱۹۹۵)

پیش‌نگری دمای کشور مبتنی بر برونداد MME-CMIP6 در آینده نزدیک (۲۰۴۰-۲۰۲۱)

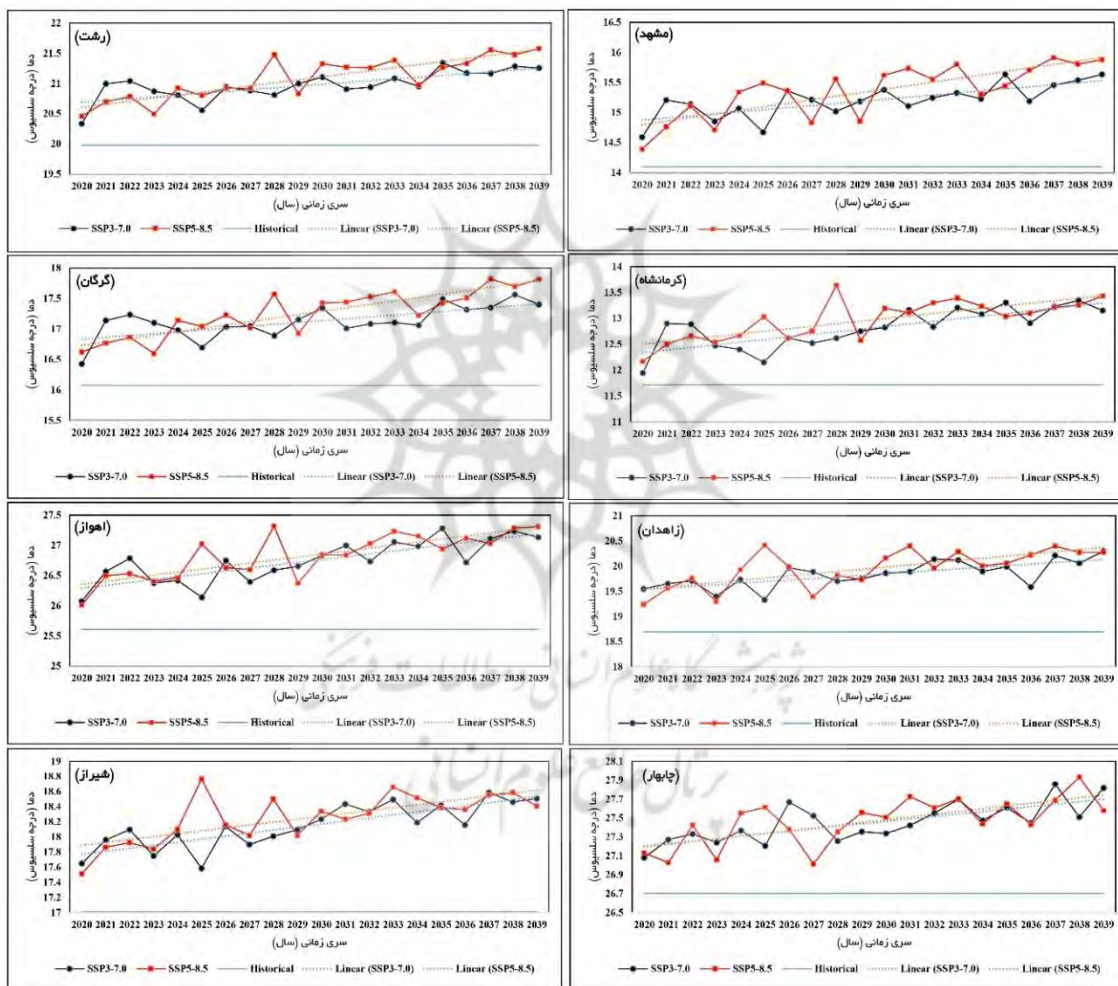
دمای پیش‌نگری شده در هر دو سناریوی SSP3-7.0 و SSP5-8.5 در آینده افزایش بیشتری را در مناطق داخلی، شمال غرب، شمال، و شمال شرق ایران نشان می‌دهد. برای دوره آینده نزدیک طی سال‌های ۲۰۴۰-۲۰۲۱ به طور متوسط بی‌هنچاری سالانه دمای ایران $1/13$ و $1/26$ درجه سلسیوس به ترتیب بر اساس سناریوهای SSP3-7.0 و SSP5-8.5 و $1/227$ برآورد شده است (شکل ۴). کمینه بی‌هنچاری دمای کشور بر اساس سناریوی SSP3-7.0 $0/765$ و بیشینه آن $1/227$ به ترتیب است. همچنین، برای سناریوی SSP5-8.5 نیز بی‌هنچاری دما برای مقادیر کمینه و بیشینه دمای سالانه درجه سلسیوس است. همچنین، برای سناریوی SSP5-8.5 نیز بی‌هنچاری دمای سالانه در بخش‌های شمال غربی، ارتفاعات غربی، و شمال ایران دیده می‌شود. سایر مناطق ایران هم تحت هر دو سناریوی منتخب، تغییرات دما در ایران افزایشی دما را در دوره موردنظر مطالعه نشان داد. همان‌طور که انتظار می‌رود، بیشینه افزایش میانگین سالانه دما در ایران تحت سناریوی SSP5-8.5 رخ داده است. بی‌هنچاری مثبت دما در ارتفاعات ایران بخصوص در مناطق شمالی و شمال غربی باعث تسریع ذوب یخچال‌های طبیعی در این منطقه می‌شود. در همین راستا، رحمان و همکاران (۲۰۱۸) نیز به این نتیجه رسیدند که رشته‌کوه‌های بزرگ جهان، همانند هندوکوش و مناطق غربی هیمالیا، بیشینه بی‌هنچاری مثبت دما را بر اساس مدل‌های CMIP6 نشان می‌دهند.



شکل ۴. پیش‌نگری دمای سالانه کشور در آینده نزدیک (۲۰۴۰-۲۰۲۱) مبتنی بر برونداد MME-CMIP6 برای دو سناریوی بدینسانه SSP3-7.0 (چپ) و خیلی بدینسانه SSP5-8.5 (راست)

پیش‌نگری تغییرات سری زمانی فراستج دما در هشت ایستگاه نماینده ایران برای آینده نزدیک تحت سناریوهای SSP3-7.0 و SSP5-8.5 نشان داد که مقدار گرمایش در مناطق مختلف ایران متفاوت است (شکل ۵). شبیه روند افزایشی به ازای هر سال بر اساس سناریوی SSP3-7.0 $0/028$ ، $0/028$ ، $0/034$ ، $0/039$ ، $0/049$ ، $0/055$ ، $0/055$ ، $0/056$ و $0/056$ و سناریوی SSP5-8.5 $0/051$ ، $0/051$ ، $0/055$ ، $0/055$ ، $0/058$ ، $0/058$ ، $0/059$ و $0/059$ به ترتیب در رشت،

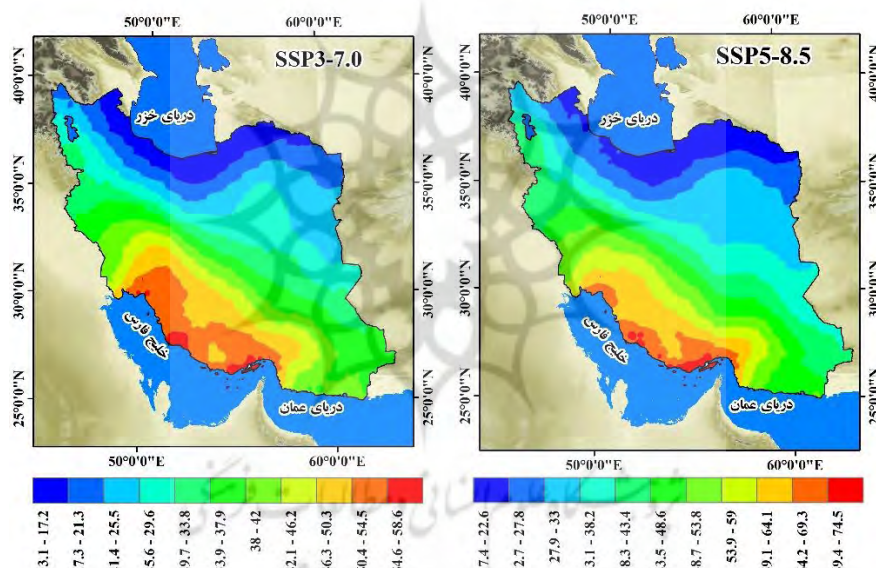
گرگان، مشهد، کرمانشاه، اهواز، شیراز، زاهدان، و چابهار به دست آمده است (شکل ۴). بیشینه گرمایش به ترتیب در کرمانشاه، اهواز، و مشهد دیده می‌شود که از بزرگ‌ترین مناطق جمعیتی ایران هستند. به عبارت دیگر، اقلیم کرانه‌های دریای عمان کمترین شدت روند افزایشی دما را در بیست سال آینده خواهد داشت. درست در نقطه مقابل اقلیم کرانه‌های ساحلی دریای عمان، در مناطق مرتفع دما شدت روند افزایشی بیشتری خواهد داشت؛ به طوری که در اقلیم دامنه‌های شمالی البرز، کوهپایه شرقی، و اقلیم بلندی‌ها شبیب روند افزایشی دما نسبت به پهنه‌های کم‌ارتفاع بیشتر است. دلیل اختلاف شدت تغییرات دما در پهنه‌های اقلیمی مختلف کشور می‌تواند با سطح توسعه این شهرها در سال‌های مختلف در ارتباط باشد. توسعه شهرها می‌تواند تابش خورشیدی طول موج بلند خروجی را در شب کاهش دهد و همچنین با جذب و ذخیره تابش خورشیدی در طول روز در افزایش دما نقشی مهمی داشته باشد.



شکل ۵. روند تغییرات میانگین دمای سالانه MME-CMIP6 در ایستگاه‌های منتخب کشور در آینده نزدیک (۲۰۴۰-۲۰۲۱) برای دو سناریوی SSP5-8.5 و SSP3-7.0

از شاخص طول مدت گرما (WSDI) برای پیش‌نگری تنش‌های گرمایی ایران استفاده شد. شکل ۶ بی‌هنگاری سالانه شاخص WSDI مبتنی بر MME-CMIP6 را تحت سناریوهای SSP5-8.5 و SSP3-7.0 نشان می‌دهد. بی‌هنگاری شاخص طول مدت دوره گرمایی در ایران بر اساس سناریوی SSP3-7.0 حداقل ۱۳/۱ و حداً کثر ۵۸/۶ روز

افزایش خواهد داشت. همچنین، نتایج مربوط به سناریوی خیلی بدینانه (SSP5-8.5) نیز یک افزایش حداقلی ۱۷/۴ روزه و حداکثری ۷۴/۵ روزه را در ایران نشان داده است. سواحل خزری، بخش‌هایی از شمال غرب در استان اردبیل، و شمال شرقی ایران کمترین افزایش را برای طول مدت گرما نشان دادند. در مقابل شاخص WSDI در سواحل خلیج فارس بخصوص در دو استان بوشهر و هرمزگان افزایش بسیار زیادی را نشان می‌دهد. بررسی الگوی مکانی طول مدت گرما در ایران نشان داد هسته‌های گرمایی عموماً در مناطق جنوبی ایران بهویژه در سواحل خلیج فارس و دریای عمان قرار دارند. ایم و همکاران (۲۰۱۷) نیز با بررسی امواج گرمایی کشورهای آسیایی به این نتیجه رسیدند که در پایان قرن حاضر وقوع موج گرما هر ۱۰ تا ۲۰ روز یک بار اتفاق خواهد افتاد و شهرهای ساحلی جنوب ایران همانند دوبی، ابوظبی، و دوحه از جمله مناطقی خواهند بود که بیشترین تأثیر را خواهند پذیرفت. مقایسه نتایج به دست آمده از این پژوهش با پژوهش‌های پیشین (شار، ۲۰۱۶؛ ایم و همکاران، ۲۰۱۷) حاکی از افزایش تنش‌های حرارتی مناطق جنوبی ایران در سال‌های پیش رو است. بنابراین، گرمایش جهانی نه تنها باعث افزایش دما در ایران شده است، بلکه همچنین باعث افزایش دوره‌های متوالی رخداد فرین گرمایی (به عنوان مثال WSDI) می‌شود.



شکل ۶. بی‌هنگاری شاخص طول مدت گرما (WSDI) مبتنی بر رویکرد MME-CMIP6 با استفاده از سناریوهای SSP3-7.0 و SSP5-8.5 طی دوره آماری پیش‌نگری شده آینده نزدیک (۲۰۴۱-۲۰۲۱)

بحث و نتیجه‌گیری

بررسی برون‌داد مستقیم پنج مدل از سری مدل‌های جفت‌شده مرحله ششم (GFDL-ESM4, MPI-ESM1-2-HR, IPSL-CM6A-LR, MRI-ESM2-0, UKESM1-0-LL) در دوره تاریخی ۱۹۹۵-۲۰۱۴ نشان داد که با آنکه برخی مدل‌ها در بعضی از مناطق اقلیمی کشور عملکرد بهتری نشان دادند، استفاده از برون‌داد مستقیم مدل‌های منفرد باعث افزایش عدم قطعیت در نتایج شد. بدین منظور، با استفاده از روش میانگین وزنی مستقل (IWM)، برون‌داد مدل‌ها همادی گردید. درستی‌سنجی برون‌داد مدل همادی نسبت به برون‌داد مستقیم مدل‌ها و همچنین اعمال روش DCF نشان داد که برون‌داد MME-CMIP6 اریبی کمتری نسبت به داده‌های ایستگاهی در دوره تاریخی نشان می‌دهد و بهتر

می‌تواند تغییرات دمای سالانه را در ایران نشان دهد. در همین راستا، یو و کانگ (۲۰۰۵) دریافتند که مدل همادی در مقایسه با مدل‌های منفرد نتایج بهتری ارائه می‌دهد. بهطور کلی، نتایج درستی‌ستجی مدل‌ها نشان داد که برونداد مدل‌های CMIP6 چه بعد از تصحیح اریبی یا همادی کردن برای مناطق خشک و نیمه‌خشک ایران از عملکرد بالاتری برخوردار است. اما برای استفاده از این مدل‌ها در مناطق اقلیمی خیلی مطروب (پهنه شمالی ایران) باید احتیاط بیشتری داشت؛ زیرا حتی با وجود تصحیح اریبی و همادی کردن نیز اریبی این مدل‌ها بیشتر از ۲ درجه سلسیوس برای مناطق نامبرده است.

دلایل احتمالی متعددی وجود دارد که باعث ایجاد اریبی بالا در برونداد مستقیم مدل (DMO) می‌شود. علت اول ممکن است پوشش ناکافی ایستگاه‌های هواشناسی در مناطقی با توپوگرافی پیچیده همانند سواحل شمالی ایران باشد، که طیف کاملی از شرایط اقلیمی را به‌ویژه در مناطق مرتفع به تصویر نمی‌کشند. بیشتر ایستگاه‌های این منطقه از ایران در مناطق هموار و ساحلی (قرایخیل قائم‌شهر، بابلسر، نوشهر، رامسر، رشت، و بندر انزلی) واقع شده‌اند. همچنین، مدل‌های اقلیمی معمولاً توپوگرافی هموارتری نسبت به مشاهدات درنظر می‌گیرند (یانگ و همکاران، ۲۰۱۸). اختلاف ارتفاع بین مدل و مشاهدات یکی از موارد مهم در عدم قطعیت مدل‌ها و اختلاف بین DMO و DCF است که در مدل‌های اقلیمی به اریبی منفی (کم‌برآورده) منجر می‌شود (یو و همکاران، ۲۰۲۰). دلیل دوم ممکن است به دلیل ناکارآمدی مدل‌ها در شبیه‌سازی بازخورد برف-آلدو باشد (کانگ و همکاران، ۲۰۱۹).

به‌طور کلی، نتایج پیش‌نگری MME-CMIP6 نشان‌دهنده افزایش دمای سالانه در ایران است. بی‌هنجری متوسط دمای سالانه ایران به ترتیب ۱/۱۳ و ۱/۲۶ درجه سلسیوس تحت سناریوهای SSP3-7.0 و SSP5-8.5 طی دوره آینده نزدیک (۲۰۴۰-۲۰۲۱) افزایش خواهد داشت. نتایج به‌دست‌آمده حاکی از نقش بسیار مهم ناهمواری‌ها در توزیع ناهمگون دما در افزایش میانگین دمای سالانه کشور در دو دهه پیش رو است. حداقل بی‌هنجری دما در جنوب شرقی ایران و حدکثر آن در مناطق شمال غربی و مرکزی محتمل خواهد بود.

پیش‌نگری شاخص طول مدت گرما (WSDI) نشان از بی‌هنجری سراسر افزایشی در کشور دارد. کانون اصلی افزایش WSDI در سواحل جنوبی ایران و بخصوص خلیج فارس است که بر اساس نتایج سناریوی خیلی بدینانه افزایشی معادل با ۷۴/۵ روز خواهد داشت. افزایش WSDI تنها معطوف به ایران نیست، بلکه شار (۲۰۱۶) و ایم و همکاران (۲۰۱۷) همین روند افزایشی قابل توجه را برای موج‌های گرمایی کشورهای حوزه خلیج فارس پیش‌نگری کردند. در سطح جهانی با استفاده از مدل‌های CMIP5 (لو و همکاران، ۲۰۱۸) و اخیراً با مدل‌های CMIP6 (کیم و همکاران، ۲۰۲۰) این روند افزایشی گستردگی‌گزارش شده است.

تجزیه و تحلیل تغییرات میانگین دمای سالانه MME-CMIP6 نشان می‌دهد که ایران در دوره آینده نزدیک (۲۰۴۰-۲۰۲۱) نسبت به دوره تاریخی (۱۹۹۵-۲۰۱۴) با شتاب بیشتری گرم خواهد شد. گرمایش بیشتر به‌ویژه در مناطق مرتفع و برف‌گیر بر زیست‌بوم‌های طبیعی اثر گذاشته و دسترسی به منابع آب در آینده را تحت تأثیر قرار می‌دهد. عمدۀ مناطق داخلی، شرقی، و جنوبی ایران دارای اقلیم خشک یا نیمه‌خشک هستند و افزایش شدید دما تحت سناریوی خیلی بدینانه (SSP5-8.5) به تخریب محیط زیست و تشدید خشک‌سالی از یک طرف و افزایش بیابان‌زایی از طرف دیگر منجر خواهد شد.

منابع

- احمدی، محمود؛ داداشی رودباری، عباسعلی؛ اکبری ازیرانی، طبیه و کرمی، جمال (۱۳۹۸). کارایی مدل HadGEM2-ES در ارزیابی ناپهنجاری فصلی دمای ایران تحت سنتاریوهای واداشت تابشی، *فیزیک زمین و فضا*، ۴۵(۳): ۶۲۵-۶۴۴.
- آزادی، مجید؛ واشانی، سعید و حجام، سهراب (۱۳۹۱). پیش‌بینی احتمالاتی بارش با استفاده از پس‌پردازش (post processing) برون‌داد یک سامانه همادی، *مجله فیزیک زمین و فضا*، ۳۸(۳): ۲۰۳-۲۱۶.
- زرین، آذر و داداشی رودباری، عباسعلی (۱۳۹۹). پیش‌نگری چشم‌انداز بلندمدت دمای آینده ایران مبتنی بر برон‌داد پروژه مقایسه مدل‌های جفت‌شده مرحله ششم (CMIP6)، *فیزیک زمین و فضا*، ۴۶(۳): ۵۸۳-۶۰۲.
- زرین، آذر؛ داداشی رودباری، عباسعلی و صالح‌آبادی، نرگس (۱۴۰۰). بررسی بی‌هنجاری و روند دمای ایران در پهنه‌های مختلف اقلیمی با استفاده از پروژه مقایسه مدل‌های جفت‌شده مرحله ششم (CMIP6)، *مجله ژئوفیزیک ایران*، ۱۵(۱): ۱-۱۳.
- علیزاده چوبی، امید و نجفی، محمدسعید (۱۳۹۶). روند تغییرات دمای هوای بارش در مناطق مختلف ایران، *فیزیک زمین و فضا*، ۴۳(۳): ۵۶۹-۵۸۴.
- علیزاده، احمد؛ بابائیان، ایمان؛ نوری، حمید و نجاتیان، محمدعلی (۱۳۹۹). بررسی اثر تغییر اقلیم بر کیفیت انگور بی‌دانه سفید (مطالعه موردی: ایستگاه هواشناسی کشاورزی گلستان)، *پژوهش‌های اقلیم‌شناسی*، ۹۳(۱۳۹۹): ۱۰۹-۱۲۶.
- مسعودیان، سیدابوالفضل (۱۳۹۰). آب‌وهای ایران، مشهد: شریعة توپ.
- نجفی، حسین؛ مساح بوانی، علیرضا؛ ایران‌نژاد، پرویز و رابرتسون، اندره (۱۳۹۶). کاربست مدل‌های همادی امریکای شمالی در پیش‌بینی فصلی بارش گستره ایران، *تحقیقات منابع آب ایران*، ۱۳(۴): ۲۸-۳۸.
- Bai, H.; Xiao, D., .; Wang, B.; Liu, D. L.; Feng, P. and Tang, J. (2020). Multi-model ensemble of CMIP6 projections for future extreme climate stress on wheat in the North China Plain, *International Journal of Climatology*, 40: 21-39.
- Becker, E.; Kirtman, B. P. and Pegion, K. (2020). Evolution of the North American Multi-Model Ensemble, *Geophysical Research Letters*, 47: 35-53.
- Bishop, C. H. and Abramowitz, G. (2013). Climate model dependence and the replicate Earth paradigm, *Climate dynamics*, 41: 885-900.
- Dai, A. (2011). Drought under global warming: a review, *Wiley Interdisciplinary Reviews: Climate Change*, 2: 45-65.
- Fallah-Ghalhari, G., .; Shakeri, F., & and Dadashi-Roudbari, A. (2019). Impacts of climate changes on the maximum and minimum temperature in Iran. *Theoretical and Applied Climatology*, 138(3-4),): 1539-1562.
- Gidden, M. J., .; Riahi, K., .; Smith, S. J., .; Fujimori, S., .; Luderer, G., .; Kriegler, E., ... & and Takahashi, K. (2019). Global emissions pathways under different socioeconomic scenarios for use in CMIP6: a dataset of harmonized emissions trajectories through the end of the century. *Geoscientific model development*, 12(4),): 1443-1475.
- Grose, M.R.; Narsey, S.; Delage, F.P.; Dowdy, A.J.; Bador, M.; Boschat, G.; Chung, C.; Kajtar, J.B.; Rauniyar, S.; Freund, M.B. and Lyu, K. (2020). Insights from CMIP6 for Australia's future climate, *Earth's Future*, 8(5): 12-24.

- Gupta, H. V.; Kling, H.; Yilmaz, K. K. and Martinez, G. F. (2009). Decomposition of the mean squared error and NSE performance criteria: Implications for improving hydrological modelling, *Journal of hydrology*, 377(1-2): 80-91.
- Hawkins, E. and Sutton, R. (2009). The potential to narrow uncertainty in regional climate predictions, *Bulletin of the American Meteorological Society*, 90(8): 1095-1108.
- He, S., .; Yang, J., .; Bao, Q., .; Wang, L., & and Wang, B. (2019). Fidelity of the observational/reanalysis datasets and global climate models in representation of extreme precipitation in East China. *Journal of Climate*, 32(1,): 195-212.
- Im, E. S., .; Pal, J. S., & and Eltahir, E. A. (2017). Deadly heat waves projected in the densely populated agricultural regions of South Asia. *Science advances*, 3(8),): e1603322.
- IPCC (2013). Climate Change 2013: The Physical Science Basis. Contribution of Working Group I to the Fifth Assessment Report of the Intergovernmental Panel on Climate Change, Cambridge University Press, Cambridge and New York.
- Kang, S., .; Zhang, Q., .; Qian, Y., .; Ji, Z., .; Li, C., .; Cong, Z., ... & and Qin, D. (2019). Linking atmospheric pollution to cryospheric change in the Third Pole region: current progress and future prospects. *National Science Review*, 6(4),): 796-809.
- Khan, A. J., .; Koch, M., & and Tahir, A. A. (2020). Impacts of Climate Change on the Water Availability, Seasonality and Extremes in the Upper Indus Basin (UIB). *Sustainability*, 12(4),): 1283.
- Kim, Y. H., .; Min, S. K., .; Zhang, X., .; Sillmann, J., & and Sandstad, M. (2020). Evaluation of the CMIP6 multi-model ensemble for climate extreme indices. *Weather and Climate Extremes*, 29, : 100269.
- Knoben, W. J., Freer, J. E., and Woods, R. A. (2019). Inherent benchmark or not? Comparing Nash–Sutcliffe and Kling–Gupta efficiency scores. *Hydrology and Earth System Sciences*, 23(10): 4323-4331.
- Knoben, W. J.; Freer, J. E. and Woods, R. A. (2019). Inherent benchmark or not? Comparing Nash–Sutcliffe and Kling–Gupta efficiency scores, *Hydrology and Earth System Sciences*, 23(10): 4323-4331.
- Lee, J. Y. and Wang, B. (2014). Future change of global monsoon in the CMIP5. *Climate Dynamics*, 42(1-2): 101-119.
- Lorenz, R.; Herger, N.; Sedláček, J.; Eyring, V.; Fischer, E. M. and Knutti, R. (2018). Prospects and caveats of weighting climate models for summer maximum temperature projections over North America, *Journal of Geophysical Research: Atmospheres*, 123(9): 4509-4526.
- Lu, C., .; Sun, Y., & and Zhang, X. (2018). Multimodel detection and attribution of changes in warm and cold spell durations. *Environmental Research Letters*, 13(7),): 074013.
- Marengo, J. A.; Rusticucci, M.; Penalba, O. and Renom, M. (2010). An intercomparison of observed and simulated extreme rainfall and temperature events during the last half of the twentieth century: part 2: historical trends, *Climatic Change*, 98(3-4): 509-529.
- Moss, R.H.; Edmonds, J.A.; Hibbard, K.A.; Manning, M.R.; Rose, S.K.; Van Vuuren, D.P.; Carter, T.R.; Emori, S.; Kainuma, M.; Kram, T. and Meehl, G.A. (2010). The next generation of scenarios for climate change research and assessment, *Nature*, 463(7282): 747-756.
- Pathak, R.; Sahany, S.; Mishra, S. K. and Dash, S. K. (2019). Precipitation Biases in CMIP5 Models over the South Asian Region, *Scientific reports*, 9(1): 1-13.
- Rehman, N.; Adnan, M. and Ali, S. (2018). Assessment of CMIP5 climate models over South Asia and climate change projections over Pakistan under representative concentration pathways, *International Journal of Global Warming*, 16(4): 381-415.

- Riahi, K., .; Van Vuuren, D. P., .; Kriegler, E., .; Edmonds, J., .; O’Neill, B. C., .; Fujimori, S., ... & and Tavoni, M. (2017). The shared socioeconomic pathways and their energy, land use, and greenhouse gas emissions implications: an overview. *Global Environmental Change*, 42, : 153-168.
- Schär, C. (2016). Climate extremes: The worst heat waves to come. *Nature Climate Change*, 6(2),): 128-129.
- Swart, N. C., .; Cole, J. N., .; Kharin, V. V., .; Lazare, M., .; Scinocca, J. F., .; Gillett, N. P., ... & and Winter, B. (2019). The canadian earth system model version 5 (CanESM5. 0.3). *Geoscientific Model Development*, 12(11),): 4823-4873.
- Tatebe, H., .; Ogura, T., .; Nitta, T., .; Komuro, Y., .; Ogochi, K., .; Takemura, T., ... & and Kimoto, M. (2019). Description and basic evaluation of simulated mean state, internal variability, and climate sensitivity in MIROC6. *Geoscientific Model Development*, 12(7),): 2727-2765.
- Vogel, M. M., .; Hauser, M., & and Seneviratne, S. I. (2020). Projected changes in hot, dry and wet extreme events' clusters in CMIP6 multi-model ensemble. *Environmental Research Letters*, 15(9),: 094021.
- Yan, Y., .; Lu, R. and Li, C. (2019). Relationship between the future projections of Sahel rainfall and the simulation biases of present South Asian and Western North Pacific rainfall in summer, *Journal of Climate*, 32(4): 1327-1343.
- Yang, X., .; Wood, E. F., .; Sheffield, J., .; Ren, L., .; Zhang, M., . & and Wang, Y. (2018). Bias correction of historical and future simulations of precipitation and temperature for China from CMIP5 models. *Journal of Hydrometeorology*, 19(3),): 609-623.
- Yoo, J. H. and Kang, I. S. (2005). Theoretical examination of a multi-model composite for seasonal predictionm *Geophysical research letters*, 32(18): 14-27.
- You, Q., .; Wu, F., .; Wang, H., .; Jiang, Z., .; Pepin, N., & and Kang, S. (2020). Projected changes in snow water equivalent over the Tibetan Plateau under global warming of 1.5° and 2° C. *Journal of Climate*, 33(12),): 5141-5154.
- Yu, H.; Wei, Y.; Zhang, Q.; Liu, X.; Huang, J.; Feng, T. and Zhang, M. (2020). Multi-model assessment of global temperature variability on different time scales, *International Journal of Climatology*, 40(1): 273-291.
- Zheng, X. T.; Hui, C. and Yeh, S. W. (2018). Response of ENSO amplitude to global warming in CESM large ensemble: uncertainty due to internal variability, *Climate Dynamics*, 50(11-12): 4019-4035.
- Zhu, Y. Y., . and& Yang, S. (2020). Evaluation of CMIP6 for historical temperature and precipitation over the Tibetan Plateau and its comparison with CMIP5. *Advances in Climate Change Research*, 11(3),): 239-251.